

УДК 57.087, 004.93

Разработка и исследование алгоритма классификации лейкоцитов по микроскопическим изображениям мазков крови и костного мозга

Косяк А.А., аспирант
кафедра «Биомедицинские технические системы»,
Россия, 105005, г. Москва, МГТУ им. Н.Э. Баумана

Научный руководитель: А.В. Самородов, к.т.н., доцент,
Россия, 105005, г. Москва, МГТУ им. Н.Э. Баумана
bmt-1@bmstu.ru

Кровь – одна из важнейших биологических жидкостей в организме человека. Она выполняет различные функции: транспортную, выделительную, терморегуляторную, гуморальную, защитную. Кровь состоит из двух основных компонентов: плазмы и взвешенных в ней форменных элементов. Плазма крови содержит воду и растворённые в ней вещества: белки и другие органические и минеральные соединения. Форменные элементы крови представлены эритроцитами (красные кровяные тельца), тромбоцитами (кровяные пластинки) и лейкоцитами (белые кровяные тельца), морфологический анализ которых выполняется в мазках крови [1].

Одним из наиболее трудоемких этапов анализа мазков крови является поиск и классификация лейкоцитов. Номенклатура зрелых клеток лейкоцитарного ряда, используемых при подсчете лейкоцитарной формулы, насчитывает 6 типов клеток, но в мазках периферической крови могут встречаться также незрелые формы данных клеток, атипичные и патологические формы, что составляет еще более 20 различных типов клеток. Визуально врачом обычно классифицируется от 100 до 200 клеток, что недостаточно для получения статистически достоверных относительных концентраций даже зрелых форм. Своевременное обнаружение и классификация незрелых форм клеток, циркулирующих в периферическом кровотоке, необходимы как источник важной диагностической информации, поэтому автоматизация задачи обнаружения и классификации лейкоцитов по микроскопическим изображениям мазков крови является актуальной.

Для разработки алгоритма первоначально необходимо сформировать комплекс морфологических параметров лейкоцитов, затем составить формализованные схемы классификации лейкоцитов периферической крови на основе данных параметров, которые и будут положены в основу алгоритмов классификации. В результате анализа научно-медицинской литературы были выделены информативные морфологические параметров лейкоцитов и построено формализованное описание процесса их классификации (таблица 1, рисунки 1-4) [2–6].

Таблица 1

Морфологические параметры лейкоцитов

	Название	Размер, клетки	МКМ	Ядро						Цитоплазма			
				цвет	структура	форма	цвет	структура					
				Г	Р	А	Н	У	Л	О	П	Э	З
1	Миело-blast	15-20	фиолетовое	матина с равномерной окраской и одинаковым калибром нитей	нежно-сетчатая структура хроматина с равномерной окраской и одинаковым калибром нитей	округлое	голубая	пылевидные азурфильные гранулы					
2	Проми-локит	18-25	красно-фиолетовое	остатки нежной структуры, но не имеет равномерной окраски и калибра нитей хроматина, можно различить мелкие ядрышки	овальное или округлое	голубово-то-синяя	обильная азурфильная зернистость, насыпающаяся на ядро						
3	Нейтро-фильный миелоцит	12-18	красно-фиолетовое, с чередованием темных и светлых участков	хроматин грубый, ядрышек нет	овальное (у матринских), бобовидное с бухтообразным вдавлением (у дочерних)	голубово-то-розовая	на розовом фоне пылевидная коричневато-фиолетовая зернистость						

Продолжение таблицы 1

4	Эозино-фильный миелоцит	12-15	красно-фиолетовое, с чередованием темных и светлых участков	ядрышек нет	овальное (у материнских), бобовидное с бухтообразным вдавлением (у дочерних)	голубовато-розовая	объемные гранулы однокового размера и формы красно-коричневого цвета, иногда наслаждающиеся на ядро
5	Базофильный миелоцит	12-15		хроматин трубчатый, ядрышек нет	неправильно овальное	розовая	крупные гранулы различной формы и размеров, темно-фиолетового цвета, наслаждающиеся на ядро
6	Метамиэлоцит	10-16	красно-фиолетовое	четко различаются глыбки хроматина, ядро одинаково толстое по всей длине	бобовидное или подводкообразное, в виде буквы S	розовая	мелкая азурфильтная зернистость
7	Палочко-ядерный нейтрофил	9-15	темно-фиолетовое	структура хроматина неравномерная крупноплыбчатая, характеризуется конденсацией ядерного хроматина, нуклеолы отсутствуют	вытянутое палочковидное, узкое, неравномерное по ширине, имеет сужения.	розовая	пылевидная фиолетовая нейтрофильтная зернистость
						В виде палочки, подковы, буквы S	

Продолжение таблицы 1

8	Сегменто-ядерный нейтрофил	10-15	темно-фиолетовое	хроматин неравномерный, крупноглыбчатый	состоит из 3-5 фрагментов, соединенных тонкими перемычками	окси-фильтрация	множество пылевидных нейтрофильных гранул
9	Эозино-фил	10-12	темно-фиолетовое	хроматин неравномерный, крупноглыбчатый	состоит из 2-4 фрагментов	окси-фильтрация, оранжевая или розово-красная	множество пылевидных эозинофильных гранул
10	Базофил	10-15	темно-фиолетовое	крупные гранулы хроматина, неодинаковые по размеру и форме, наславшающиеся на ядро	размытое	окси-фильтрация	
				Л И М Ф О П О Э З			
11	Лимфо-blast	12-16	светло-фиолетовое	нежно-сгетчатель мелкозернистый хроматин, 1-2 ядрышка	округлое или овальное	светло-синяя	узкая с перинуклеарной зоной
12	Про-лимфоцит	12-16		нежная структура хроматина с остатками ядрышек	округлое или овальное	светло-синяя	светло-синяя, узкая с перинуклеарной зоной
13	Большие лимфо-циты	12-15		структура хроматина неравномерная, глыбчатая, нуклеолы отсутствуют	круглое или овальное	голубая	широкая с мелкими или более грубыми азурфильтальными гранулами

Окончание таблицы 1

14	Малые лимфоциты	7-12	темное	структура хроматина неравномерная, глыбчатая	круглое или слегка овальное	светло-синяя	узкая с перинуклеарной зоной
				M O H O П О Э З			
16	Монобласт	15-20	голубоватое	хроматин нежный, мелкосетчатый, тонкодисперсный, содержит 1-2 нуклеолы	округлое	голубоватая	пылевидные азурфильные гранулы
17	Промоноцит	15-18	красновато-фиолетовое	хроматин нежно-сетчатый, содержит остатки ядрышек	бобовидное	голубая	мелкая азурфильная зернистость
18	Меноцит	14-20	красно-фиолетовое	хроматин светлый, расположена грубыми полосами, которые, скрещиваясь образуют грубую сетку	лопастное, бобовидное, сегментированное, палочковидное	голубовато-серая	слабо базофильная, содержит азурфильную пылевидную зернистость, иногда содержит вакуоли и фагоцитированные частицы

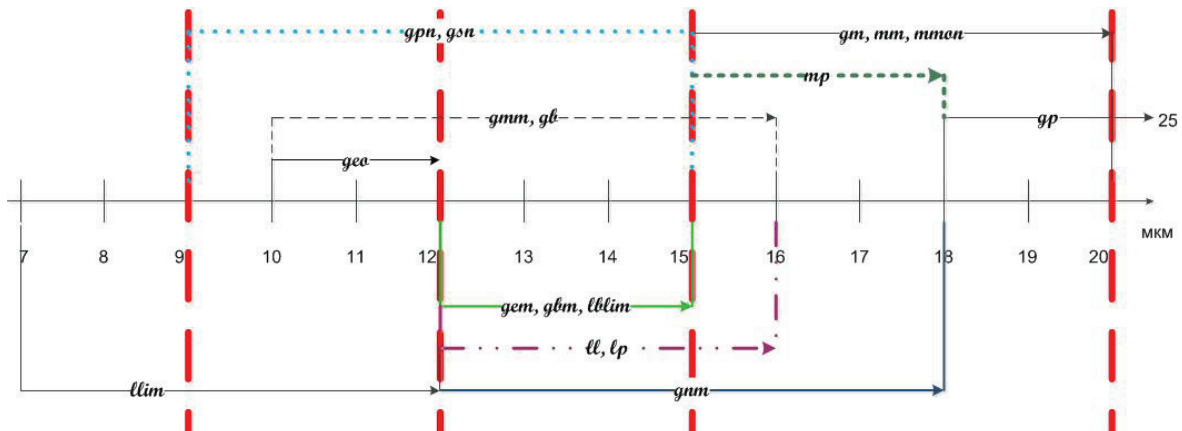


Рис. 1. Первичная схема классификации лейкоцитов

На основе данных параметров вначале выделяется 5 групп клеток на основании значения диаметра этих клеток.

В 1-ю группу с диаметром от 7 мкм до 9 мкм входят только лимфоциты.

Во 2-ю группу, с диаметром от 9 мкм до 12 мкм входят метамиелоциты, палочкоядерный и сегментоядерный нейтрофилы, эозинофил, базофил и широкоплазменный лимфоцит.

В 3-ю группу клеток с диаметром от 12 мкм до 15 мкм входят метамиелоциты, палочкоядерный и сегментоядерный нейтрофилы, базофил, широкоплазменный лимфоцит, лимфобласт, пролимфоцит, нейтрофильный, эозинофильный и базофильный миелоциты.

В 4-ю группу с диаметром от 15 мкм до 20 мкм входят миелобласт, моноblast, лимфобласт, промоноцит, пролимфоцит, промиелоцит, нейтрофильный миелоцит и широкоплазменный лимфоцит, моноцит.

В 5-ю группу с диаметром от 20 мкм до 25 мкм входят только промиелоциты. Внутри каждой группы между собой данные клетки классифицируются на основании полученных морфологических параметров [2, 7, 8].

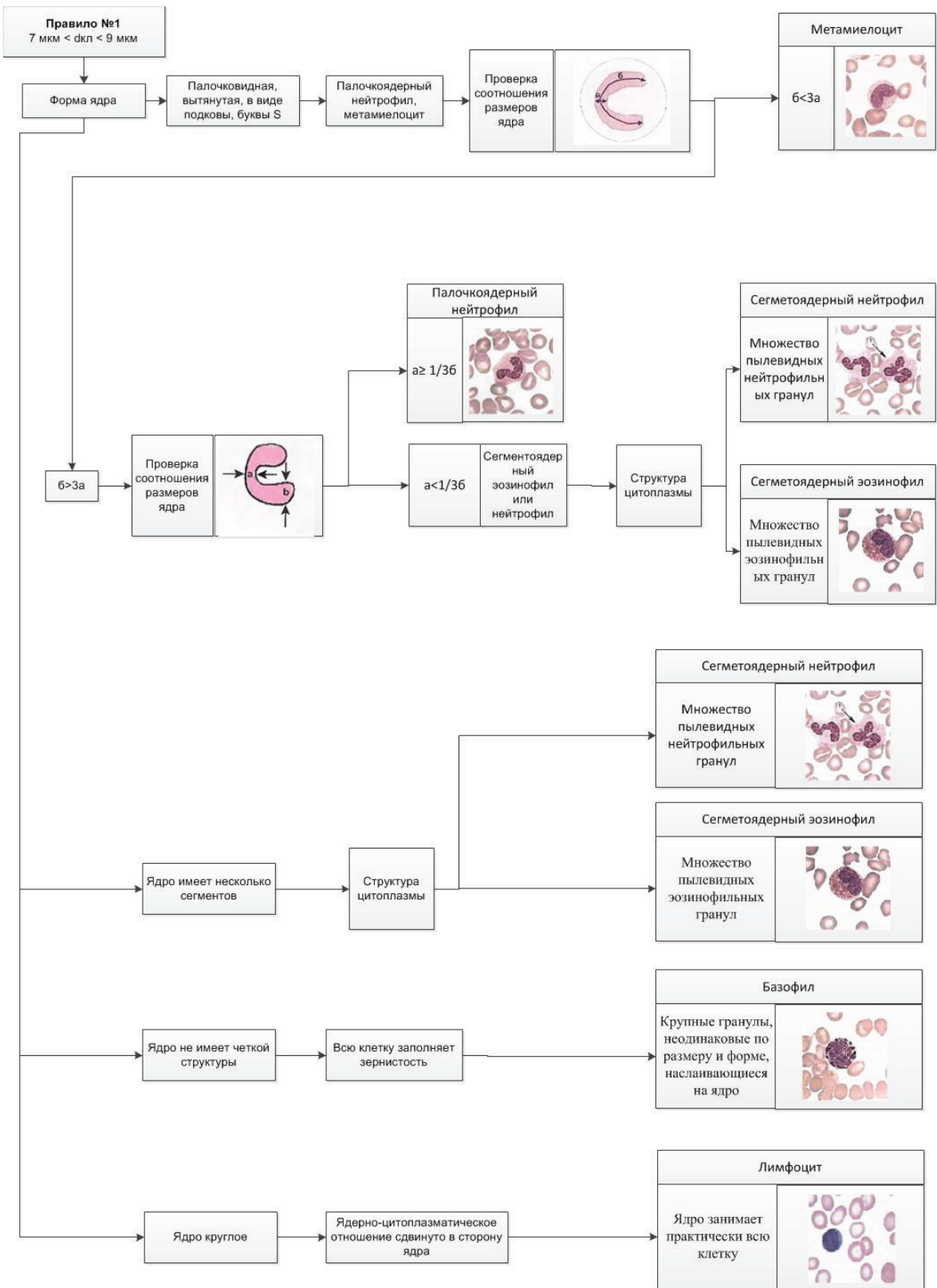


Рис. 2. Схемы классификации по трем основным группам. Правило № 1

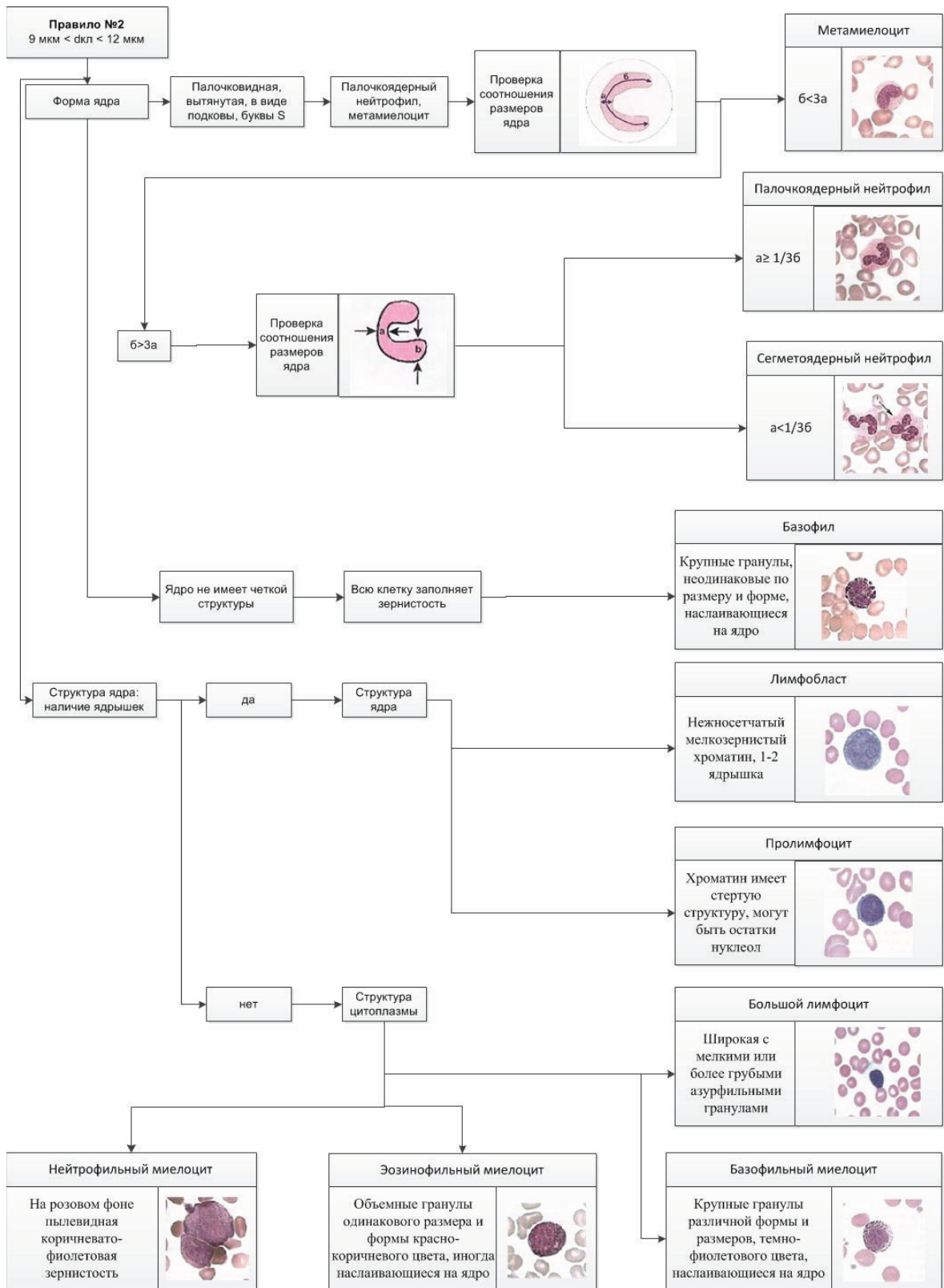


Рис. 3. Схемы классификации по трем основным группам. Правило № 2

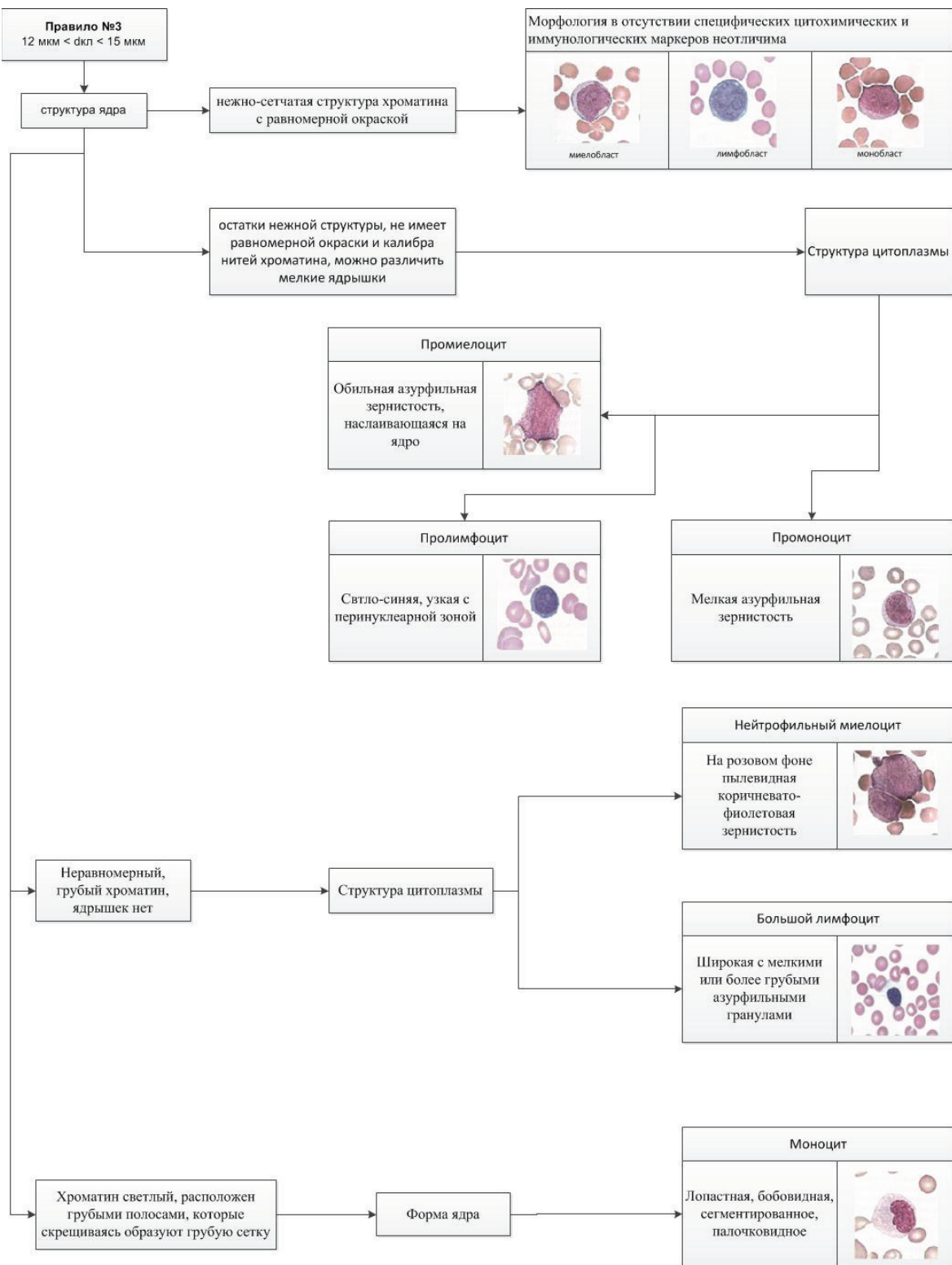


Рис. 4. Схемы классификации по трем основным группам. Правило № 3

Как следует из анализа научно-технической литературы, для реализации данных алгоритмов классификации наилучшим является метод вероятностных деревьев. Его основой является выделение максимальной вероятности из мультиплексивно подсчитанных вероятностей отношения исследуемой клетки к данному типу. В каждом

узле по каждому направлению присваивается вероятность отношения следующего узла к данному признаку. Вероятность прихода в конечный узел рассчитывается путем перемножения вероятностей, ведущих к данному [9, 10].

На основании предварительных исследований данный метод дает 95 % вероятность правильной классификации 6 зрелых форм лейкоцитов на основании визуальных данных, заданных лаборантом. Дальнейшая работа будет направлена на усовершенствование метода для зрелых и атипичных форм лейкоцитов.

Список литературы

1. Козинец Г. И. Атлас клеток крови и костного мозга. - М.: «Триада-Х», 1996. – 160с.
2. Гематологический атлас/ С.А. Луговская, М.Е. Почтарь – М.: «Триада», 2004.- 242 стр.
3. Лабораторная гематология/ С. А. Луговская, В. Т. Морозова, М. Е. Почтарь, В.В. Долгов – М.: Тверь: ООО «Издательство Триада», 2006. – 224с.
4. Абрамов М. Г. Гематологический атлас, 2е изд., перераб. и доп. – М.: Медицина, 1985. – 344с.
5. Illustrated pathology of the bone marrow/A. Orazi, D. P. O’Malley, D. A. Arber - Cambridge University Press, 2006.
6. Color Atlas of Hematology/Harald Theml, Heinz Diem, Torsten Haferlach, 2nd revised edition – Thieme Stuttgart, New York, 2004.
7. Козинец Г. И. Атлас клеток крови и костного мозга. - М.: «Триада-Х», 1996. – 160с.
8. Экспертные системы: принципы разработки и программирования, 4е изд./Д. Джараттано, Г. Райли – М.: издательский дом «Вильямс», 2007.
9. Loh W.-Y. Classification and regression tree methods // In Encyclopedia of Statistics in Quality and Reliability. – Wiley, 2008. – P. 315–323.
10. A survey of fuzzy decision tree classifier methodology / Wang T. et al. //In Fuzzy Information and Engineering. – Springer-Verlag Berlin Heidelberg, 2007. – P. 959-968.